

流感

监测周报

13/2026 年

2026年第13周 总第902期

(2026年3月23日-2026年3月29日)

Influenza
Weekly
Report



中国疾病预防控制中心
病毒病预防控制所



目 录

CONTENTS

01	摘要
03	一、流感样病例报告
05	二、病原学监测
08	三、暴发疫情
10	四、人感染动物源性流感病毒疫情
10	五、动物禽流感疫情
12	六、其他国家 / 地区流感监测情况





中国流感流行情况概要（截至 2026 年 3 月 29 日）

· 监测数据显示，本周南方省份流感病毒检测阳性率略有下降、北方省份流感病毒检测阳性率上升，以 B 型流感病毒为主。全国共报告 64 起流感样病例暴发疫情。

· 国家流感中心对 2025 年 10 月 1 日 - 2026 年 3 月 29 日（以实验日期统计）期间收检的部分流感病毒毒株进行抗原性分析，结果显示：在 A(H1N1)pdm09 亚型流感病毒毒株中有 93.8%（91/97）为 A/Victoria/4897/2022 的类似株；在 A(H3N2) 亚型流感病毒毒株中有 22.0%（549/2490）为 A/Croatia/10136RV/2023（鸡胚株）的类似株，40.8%（1017/2490）为 A/District of Columbia/27/2023（细胞株）的类似株；在 B(Victoria) 系流感病毒毒株中有 97.8%（360/368）为 B/Austria/1359417/2021 的类似株。

· 国家流感中心对 2025 年 10 月 1 日以来收检的部分流感病毒毒株进行耐药性分析，结果显示：在 A(H1N1)pdm09 亚型流感病毒毒株中有 1.8%（2/113）对神经氨酸酶抑制剂敏感性降低或高度降低，其余 A(H1N1)pdm09 亚型流感病毒毒株均对神经氨酸酶抑制剂敏感；在 A(H3N2) 亚型流感病毒毒株中有 0.09%（2/2296）对神经氨酸酶抑制剂敏感性降低或高度降低，其余 A(H3N2) 亚型流感病毒毒株均对神经氨酸酶抑制剂敏感；所有 B 型流感病毒毒株均对神经氨酸酶抑制剂敏感；所有 A(H1N1)pdm09、A(H3N2) 亚型和 B 型流感病毒毒株均对聚合酶抑制剂敏感。

摘要

一、流感样病例报告

2026 年第 13 周（2026 年 3 月 23 日 - 2026 年 3 月 29 日），南方省份哨点医院报告的 ILI% 为 3.5%，高于前一周水平（3.3%），低于 2023 年、2024 年和 2025 年同期水平（10.2%、5.6% 和 4.1%）。

2026 年第 13 周，北方省份哨点医院报告的 ILI% 为 3.6%，高于前一周水平（3.5%），低于 2023 年和 2024 年同期水平（4.6% 和 3.7%），高于 2025 年同期水平（3.4%）。

二、病原学监测

2026 年第 13 周，全国（未含港澳台地区，下同）流感监测网络实验室共检测流感样病例监测标本 20733 份。南方省份检测到 1176 份流感病毒阳性标本，其中 2 份为 A(H1N1)pdm09，156 份为 A(H3N2)，1018 份为 B(Victoria)。北方省份检测到 1453 份流感病毒阳性标本，其中 1 份为 A(H1N1)pdm09，181 份为 A(H3N2)，1271 份为 B(Victoria)。南、北方省份检测到的流感各型别及亚型的数量和所占比例具



体见表 1。

表 1 流感样病例监测实验室检测结果

	第 13 周		
	南方省份	北方省份	合计
检测数	11045	9688	20733
阳性数(%)	1176(10.7%)	1453(15.0%)	2629(12.7%)
A 型	158(13.4%)	182(12.5%)	340(12.9%)
A(H1N1)pdm09	2(1.3%)	1(0.5%)	3(0.9%)
A(H3N2)	156(98.7%)	181(99.5%)	337(99.1%)
A(unsubtyped)	0	0	0
B 型	1018(86.6%)	1271(87.5%)	2289(87.1%)
B 未分系	0	0	0
Victoria	1018(100.0%)	1271(100.0%)	2289(100.0%)
Yamagata	0	0	0

2026 年第 13 周, 国家流感中心对 39 株 A(H3N2)亚型流感毒株进行抗原性分析, 其中 5 株 (12.8%) 为 A/Croatia/10136RV/2023 (鸡胚株) 的类似株, 34 株 (87.2%) 为 A/Croatia/10136RV/2023 (鸡胚株) 的低反应株; 其中 10 株 (25.6%) 为 A/District of Columbia/27/2023 (细胞株) 的类似株, 29 株 (74.4%) 为 A/District of Columbia/27/2023 (细胞株) 的低反应株。对 47 株 B(Victoria)系流感毒株进行抗原性分析, 47 株 (100.0%) 均为 B/Austria/1359417/2021 的类似株。

2026 年第 13 周, 国家流感中心对 43 株 A(H3N2)亚型和 46 株 B(Victoria)系流感毒株进行神经氨酸酶抑制剂耐药性分析, 均对神经氨酸酶抑制剂敏感。

三、暴发疫情

2026 年第 13 周, 全国共报告 64 起流感样病例暴发疫情。经检测, 51 起为 B(Victoria), 1 起为混合型, 3 起为流感阴性, 9 起暂未获得病原检测结果。



流感样病例报告

(一) 南方省份流感样病例占门急诊病例总数百分比。

2026 年第 13 周 (2026 年 3 月 23 日 - 2026 年 3 月 29 日), 南方省份哨点医院报告的 ILI% 为 3.5%, 高于前一周水平 (3.3%), 低于 2023 年、2024 年和 2025 年同期水平 (10.2%、5.6% 和 4.1%)。(图

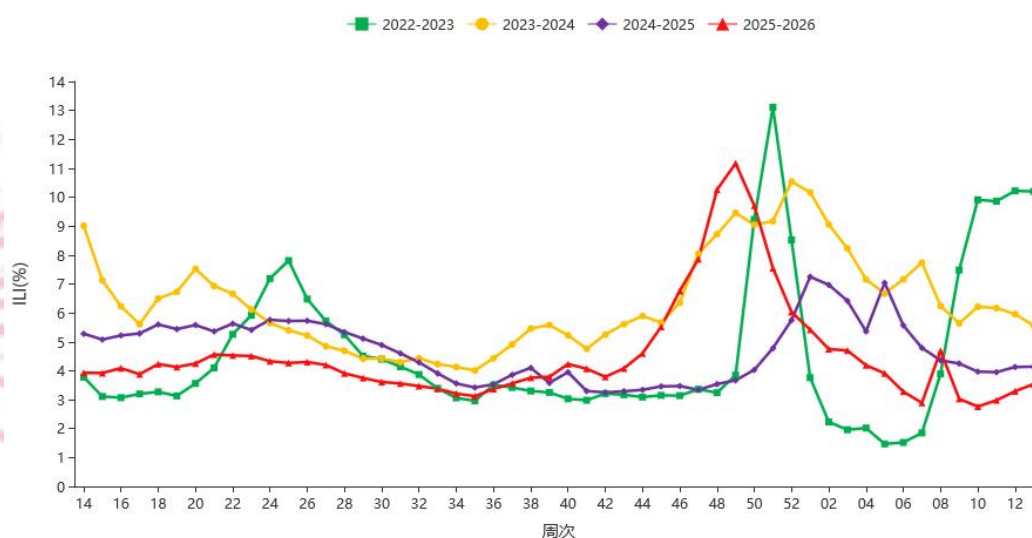


图 1 2022 - 2026 年度南方省份哨点医院报告的流感样病例%

注：数据来源于国家级哨点医院。

(二) 北方省份流感样病例占门急诊病例总数百分比。

2026 年第 13 周, 北方省份哨点医院报告的 ILI% 为 3.6%, 高于前一周水平 (3.5%), 低于 2023 年和 2024 年同期水平 (4.6% 和 3.7%), 高于 2025 年同期水平 (3.4%)。(图 2)

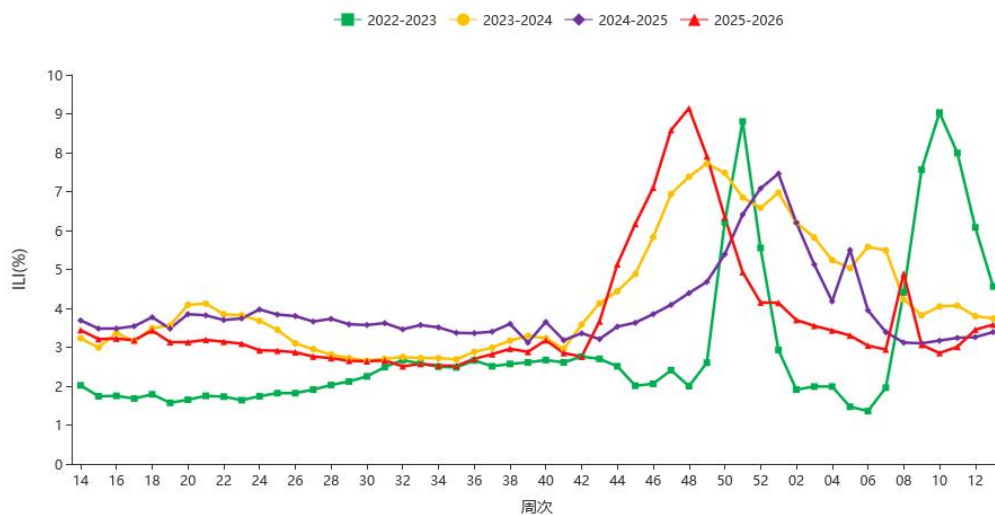


图 2 2022 – 2026 年度北方省份哨点医院报告的流感样病例%

注：数据来源于国家级哨点医院。





病原学监测

(一) 流感样病例监测

1. 南方省份。

2026 年第 13 周，南方省份检测到 1176 份流感病毒阳性标本，其中 2 份为 A(H1N1)pdm09，156 份为 A(H3N2)，1018 份为 B(Victoria)。各型别具体数据见表 1 和图 3。

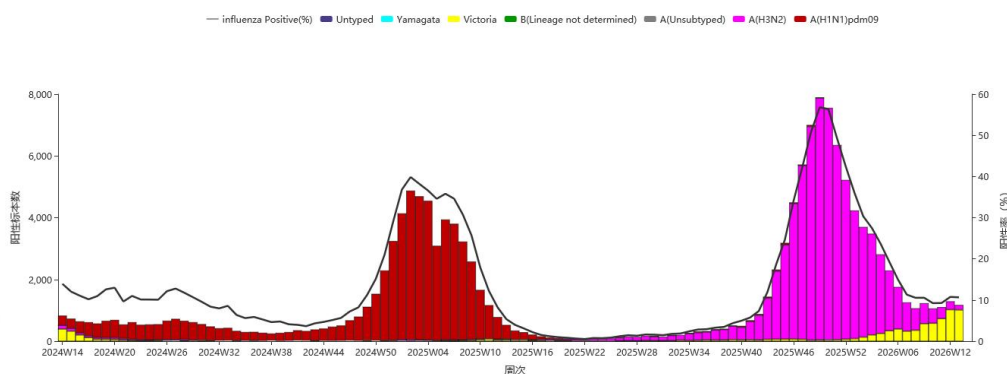


图 3 南方省份 ILI 标本检测结果

注：数据来源于网络实验室检测结果，网络实验室结果和 CNIC 结果不一致的以 CNIC 复核结果为准。

2. 北方省份。

2026 年第 13 周，北方省份检测到 1453 份流感病毒阳性标本，其中 1 份为 A(H1N1)pdm09，181 份为 A(H3N2)，1271 份为 B(Victoria)。各型别具体数据见表 1 和图 4。

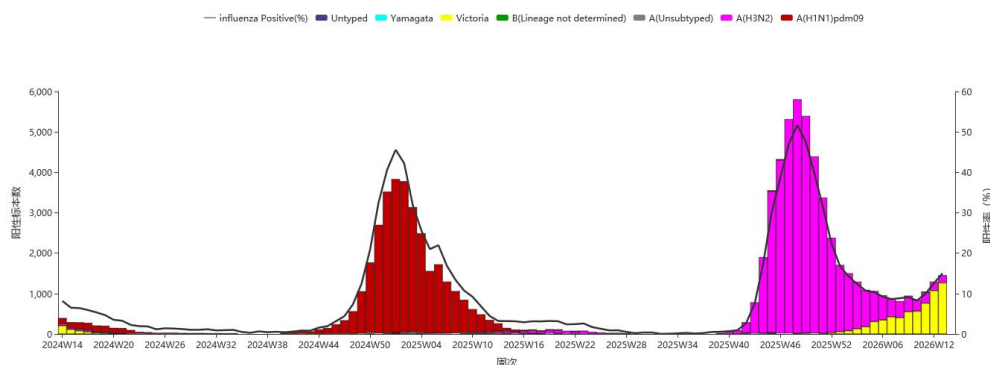


图 4 北方省份 ILI 标本检测结果

注：数据来源于网络实验室检测结果，网络实验室结果和 CNIC 结果不一致的以 CNIC 复核结果为准。

(二) ILI 暴发疫情实验室检测结果

1. 南方省份。

2026 年第 13 周，南方省份网络实验室共收检到 148 份流感样病例暴发疫情标本，其中 1 份为 A(H3N2)，147 份为 B(Victoria)。(图 5)

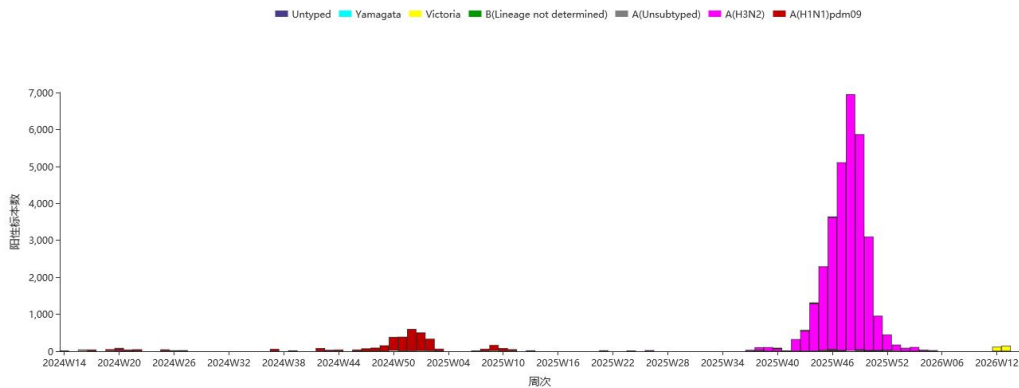


图 5 南方省份 ILI 暴发疫情标本检测结果

注：数据来源于网络实验室检测结果，网络实验室结果和 CNIC 结果不一致的以 CNIC 复核结果为准。

2. 北方省份。

2026 年第 13 周，北方省份网络实验室共收检到 131 份流感样病例暴发疫情标本，均为 B(Victoria)。(图 6)

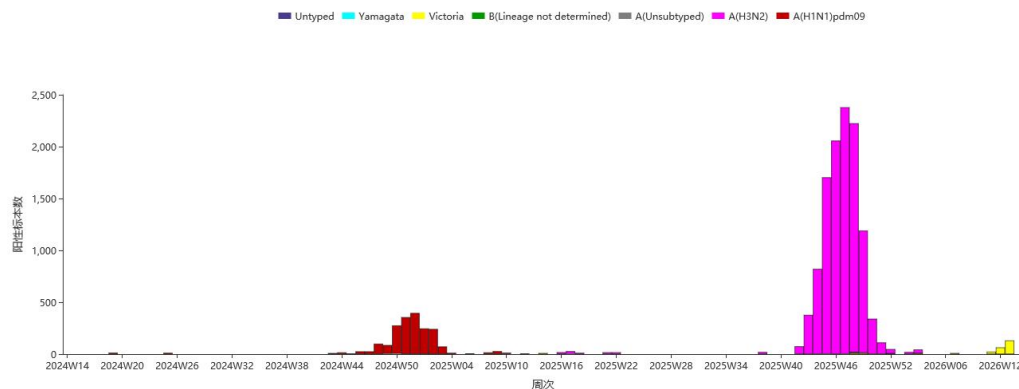


图 6 北方省份 ILI 暴发疫情标本检测结果

注：数据来源于网络实验室检测结果，网络实验室结果和 CNIC 结果不一致的以 CNIC 复核结果为准。

(三) 抗原性分析

2026 年第 13 周，国家流感中心对 39 株 A(H3N2)亚型流感毒株进行抗原性分析，其中 5 株 (12.8%) 为 A/Croatia/10136RV/2023 (鸡胚株) 的类似株，34 株 (87.2%) 为 A/Croatia/10136RV/2023 (鸡胚株) 的低反应株；其中 10 株 (25.6%) 为 A/District of Columbia/27/2023 (细胞株) 的类似株，29 株 (74.4%) 为 A/District of Columbia/27/2023 (细胞株) 的低反应株。对 47 株 B(Victoria)系流感毒株进行抗原性分析，47 株 (100.0%) 均为 B/Austria/1359417/2021 的类似株。



2025 年 10 月 1 日 - 2026 年 3 月 29 日 (以实验日期统计), CNIC 对 97 株 A(H1N1)pdm09 亚型流感毒株进行抗原性分析, 其中 91 株 (93.8%) 为 A/Victoria/4897/2022 的类似株, 6 株 (6.2%) 为 A/Victoria/4897/2022 的低反应株。对 2490 株 A(H3N2)亚型流感毒株进行抗原性分析, 其中 549 株 (22.0%) 为 A/Croatia/10136RV/2023 (鸡胚株) 的类似株, 1941 株 (78.0%) 为 A/Croatia/10136RV/2023 (鸡胚株) 的低反应株; 其中 1017 株 (40.8%) 为 A/District of Columbia/27/2023 (细胞株) 的类似株, 1473 株 (59.2%) 为 A/District of Columbia/27/2023 (细胞株) 的低反应株。对 368 株 B(Victoria)系流感毒株进行抗原性分析, 其中 360 株 (97.8%) 为 B/Austria/1359417/2021 的类似株, 8 株 (2.2%) 为 B/Austria/1359417/2021 的低反应株。

(四) 耐药性分析

2026 年第 13 周, 国家流感中心对 43 株 A(H3N2)亚型和 46 株 B(Victoria)系流感毒株进行神经氨酸酶抑制剂耐药性分析, 均对神经氨酸酶抑制剂敏感。

2025 年 10 月 1 日 - 2026 年 3 月 29 日, CNIC 耐药监测数据显示, 除 2 株 A(H1N1)pdm09 和 2 株 A(H3N2)亚型流感毒株对神经氨酸酶抑制剂敏感性降低或高度降低外, 其余 A(H1N1)pdm09 和 A(H3N2)亚型流感毒株均对神经氨酸酶抑制剂敏感; 所有 B 型流感毒株均对神经氨酸酶抑制剂敏感。所有 A(H1N1)pdm09、A(H3N2)亚型和 B 型流感毒株均对聚合酶抑制剂敏感。



暴发疫情

流感样病例暴发疫情定义：一周内，同一地区或单位内出现 10 例及以上流感样病例，经县（区）级疾病预防控制机构核实确认，并通过“中国流感监测信息系统”报告的疫情事件定义为 1 起流感样病例暴发疫情。

（一）本周新增报告的暴发疫情概况。

2026 年第 13 周，全国共报告 64 起流感样病例暴发疫情。经检测，51 起为 B(Victoria)，1 起为混合型，3 起为流感阴性，9 起暂未获得病原检测结果。

（二）暴发疫情概况。

2025 年第 14 周-2026 年第 13 周（2025 年 3 月 31 日-2026 年 3 月 29 日），全国报告流感样病例暴发疫情（10 例及以上）6931 起，经实验室检测，6133 起为 A(H3N2)，18 起为 A(H1N1)pdm09，96 起为 A 型（亚型未显示），89 起为 B(Victoria)，1 起为 B 型亚型未显示，85 起为流感阴性，203 起暂未获得病原检测结果。

1. 时间分布。

2025 年第 14 周-2026 年第 13 周，南方省份共报告 4659 起 ILI 暴发疫情，高于 2025 年同期报告疫情起数（638 起）。（图 7）

2025 年第 14 周-2026 年第 13 周，北方省份共报告 2272 起 ILI 暴发疫情，高于 2025 年同期报告疫情起数（442 起）。（图 8）

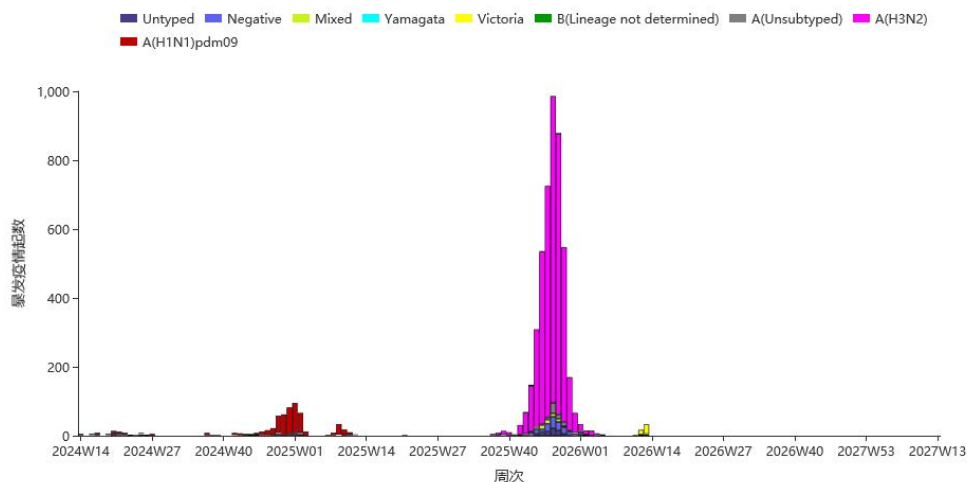


图 7 南方省份报告 ILI 暴发疫情周分布
(按疫情时间统计)

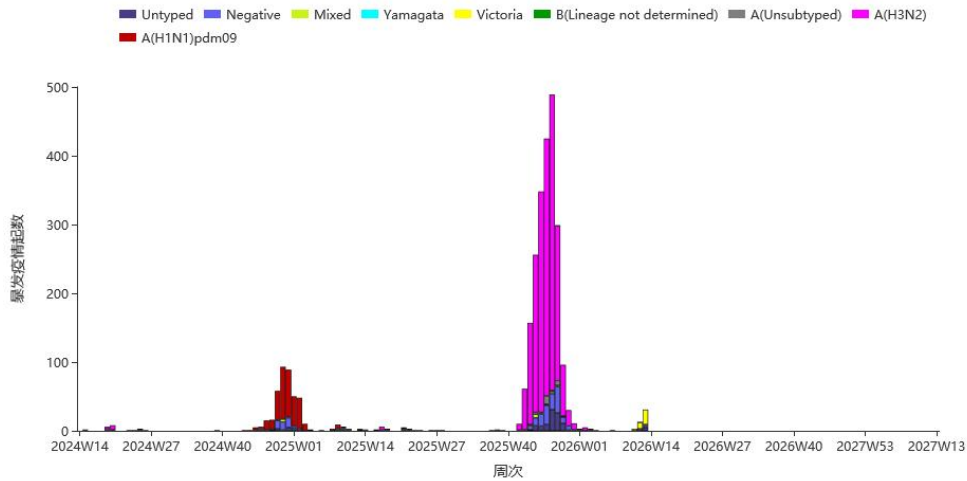


图 8 北方省份报告 ILI 暴发疫情周分布
(按疫情报告时间统计)

2. 地区分布。

2025 年第 14 周-2026 年第 13 周，全国共报告 ILI 暴发疫情 6931 起，分布在 7 个地区（表 2）。

表 2 2025 年第 14 周-2026 年第 13 周各地区报告暴发疫情起数

地区	暴发疫情起数 (起)	地区	暴发疫情起数 (起)
西南地区	2979	华北地区	551
东北地区	503	华南地区	340
华东地区	1744	华中地区	269
西北地区	545		

注：暴发疫情报告受各地监测能力及监测敏感度等因素影响。各地区省市如下：

- 东北地区：黑龙江，吉林，辽宁；
- 华北地区：北京，河北，内蒙古，山西，天津；
- 华东地区：安徽，福建，江苏，江西，山东，上海，浙江；
- 华南地区：广东，广西，海南；
- 华中地区：河南，湖北，湖南；
- 西北地区：甘肃，建设兵团，宁夏，青海，陕西，新疆；
- 西南地区：贵州，四川，西藏，云南，重庆。

人感染新亚型流感疫情

“国家级多生态位流感病毒时空预警平台”预警预测结果显示，我国目前人感染新亚型流感病毒处于低风险水平。其中 H9N2 亚型的 A/Suzhou/1209KS/2025 类似毒株为重点关注病毒。

本周，WHO 未通报人感染新亚型流感疫情。

(译自: <https://www.who.int/teams/global-influenza-programme/avian-influenza/monthly-risk-assessment-summary>)

说明：根据 2025 年修订通过的《中华人民共和国传染病防治法》，本章节更名为“人感染新亚型流感疫情”。



动物禽流感疫情

2026 年 3 月 22-28 日，世界动物卫生组织共通报 49 起高致病性禽流感动物疫情事件。

表 3 全球动物感染高致病性禽流感疫情事件

国家/地区	禽流感亚型							合计
	H5N1	H5N2	H5N5	H5N6	H5N9	H5(N 待定)	待定	
阿根廷							1	1
比利时						1		1
巴西	1							1
加拿大	1							1
哥伦比亚	1							1
捷克	1							1
丹麦	2		1					3



爱沙尼亚	1							1
芬兰							1	1
法国	2							2
德国	1							1
意大利	1							1
韩国	1			1	1			3
拉脱维亚	1	1						2
立陶宛	1							1
摩尔多瓦	1							1
荷兰	2							2
秘鲁						1		1
波兰	11							11
斯洛文尼亚	1							1
瑞典	1							1
瑞士	1							1
英国	5					1		6
美国	2					1		3
乌拉圭						1		1
合计	38	1	1	1	1	4	2	49

(源自: <https://wahis.woah.org/#/event-management>)

其他国家/地区 流感监测情况

全球（数据截至 2026 年 3 月 15 日）

全球流感阳性率约 10%，流感检出量持续下降。B 型检出占主导。

北半球，北美、西非和南亚的部分国家的流感检测阳性率处于较高水平 (>10%)。中美洲和加勒比地区、西非、欧洲和东亚流感检测阳性率超过 30%。其中，中美洲和加勒比地区的部分国家、西非、东欧、西亚的个别国家报告流感活动上升。

南半球，流感活动水平总体处于低位，但温带南美、南非、东非和东南亚的个别国家报告阳性率上升超过 10%，热带南美的一个国家超过 30%。南非的一个国家报告流感活动小幅上升。

在病毒阳性率升高的区域中，中美洲和加勒比地区、热带温带南美、东欧、西亚和南亚地区 A(H3N2) 为优势毒株；北美、东南亚地区 A(H3N2) 和 B 型居多；欧洲西南和北部 A(H1N1)pdm09 和 A(H3N2) 居多，西非和东亚 B 型为主，南非 A(H1N1)pdm09 居多。

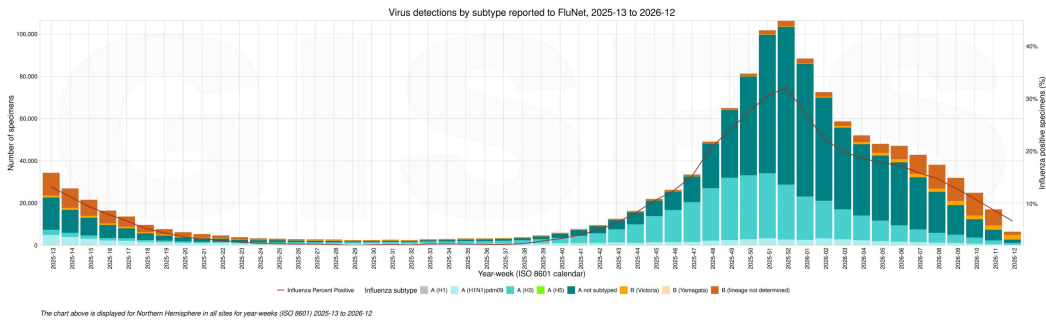


图 9 北半球流感病毒流行情况

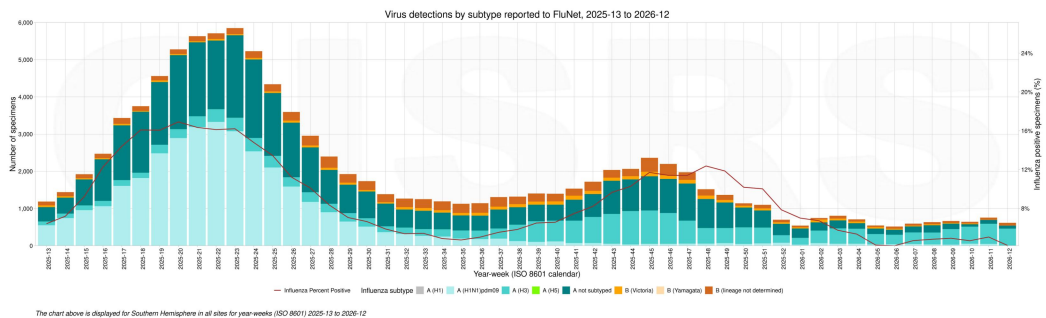


图 10 南半球流感病毒流行情况

(译自：

<https://www.who.int/teams/global-influenza-programme/surveillance-and-monitoring/influenza-updates>)



美国（第 11 周，数据截至 2026 年 3 月 21 日）

本周，美国大部分地区季节性流感活动持续下降。

本周通过 ILINet 报告的就诊患者中有 2.9% 为流感样病例患者（即由于呼吸道疾病引起的，包括发烧伴咳嗽或咽痛，也称为 ILI），低于基线水平（3.1%）。诸多呼吸道病毒共同流行，流感病毒感染对 ILI 的影响可能因地点而异。

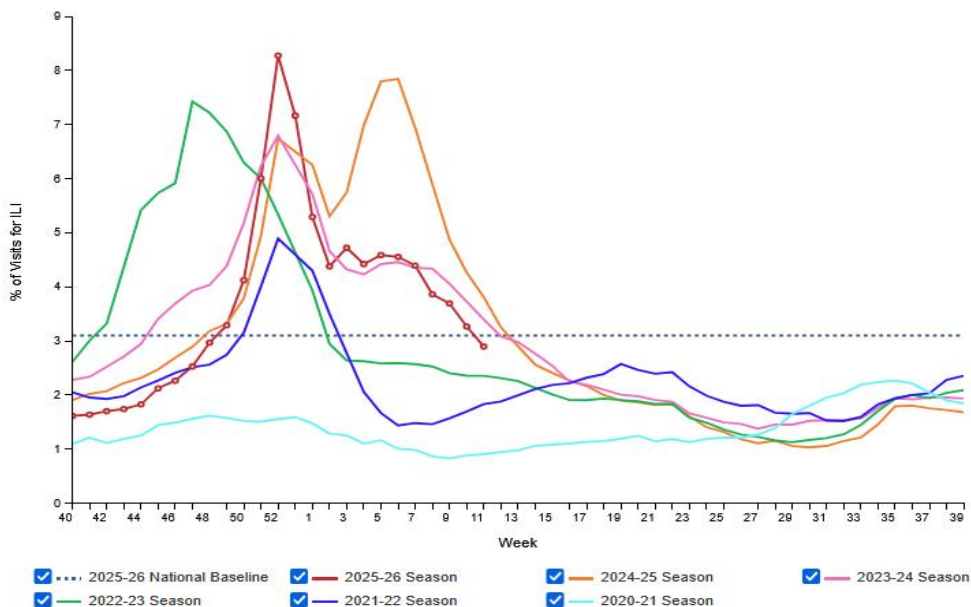


图 11 美国 ILI 监测周分布

本周临床实验室共检测样本 60251 份，检出 6909 份（11.5%）流感病毒阳性：其中 A 型 1208 份（17.5%），B 型 5701 份（82.5%）。

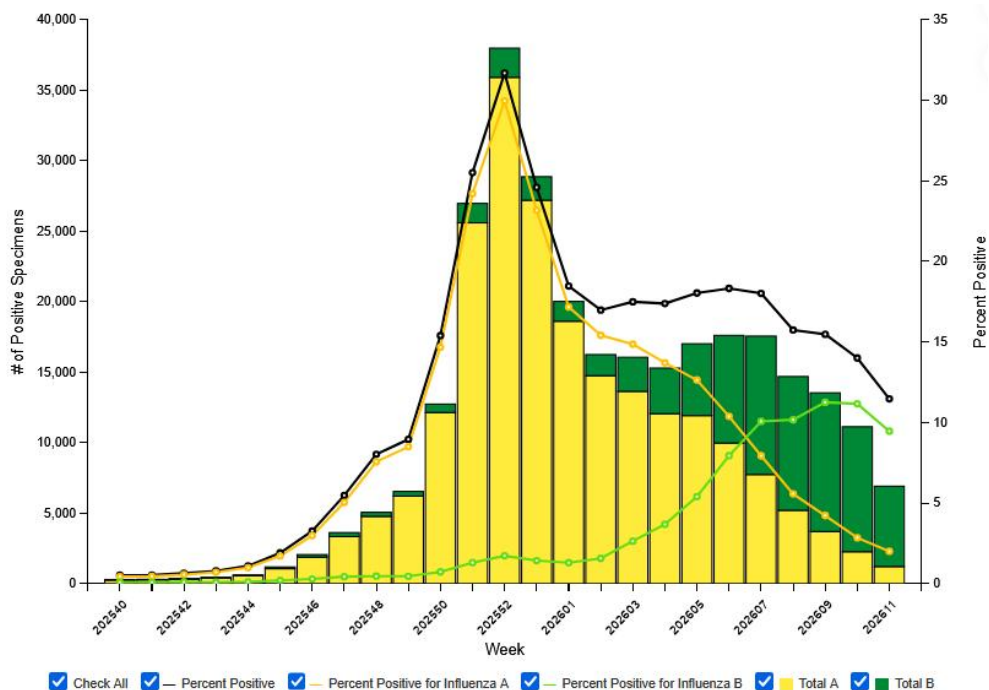


图 12 美国临床实验室流感病原监测周分布

本周美国公共卫生实验室共检测样本 914 份，检出 486 份流感阳性样本，其中 236 份 (48.6%) 为 A 型, 250 份 (51.4%) 为 B 型。在 206 份 (87.3%) 已分型的 A 型样本中, 65 份 (31.6%) 为 A(H1N1)pdm09 亚型, 141 份 (68.4%) 为 A(H3N2) 亚型, 30 份 (12.7%) 为 A 型 (分型未显示)。86 份 (34.4%) B 型已分系样本为 B(Victoria), 另 164 份为 B 型 (分系未显示)。

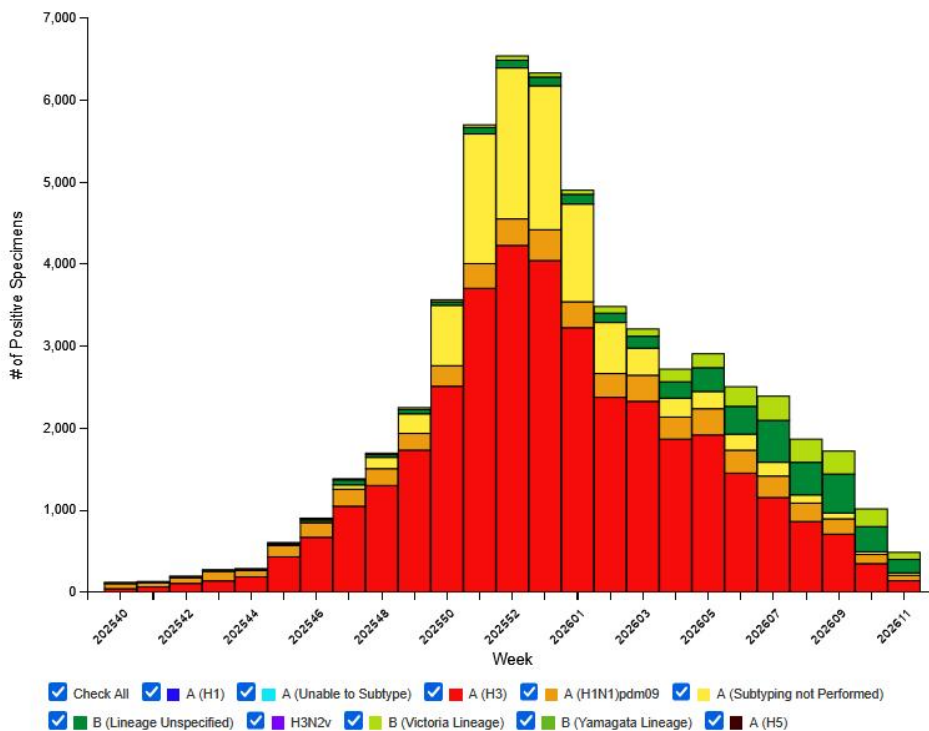


图 13 美国公共卫生实验室流感病原监测周分布

本周报告因流感死亡病例占总死亡病例的 0.3%。

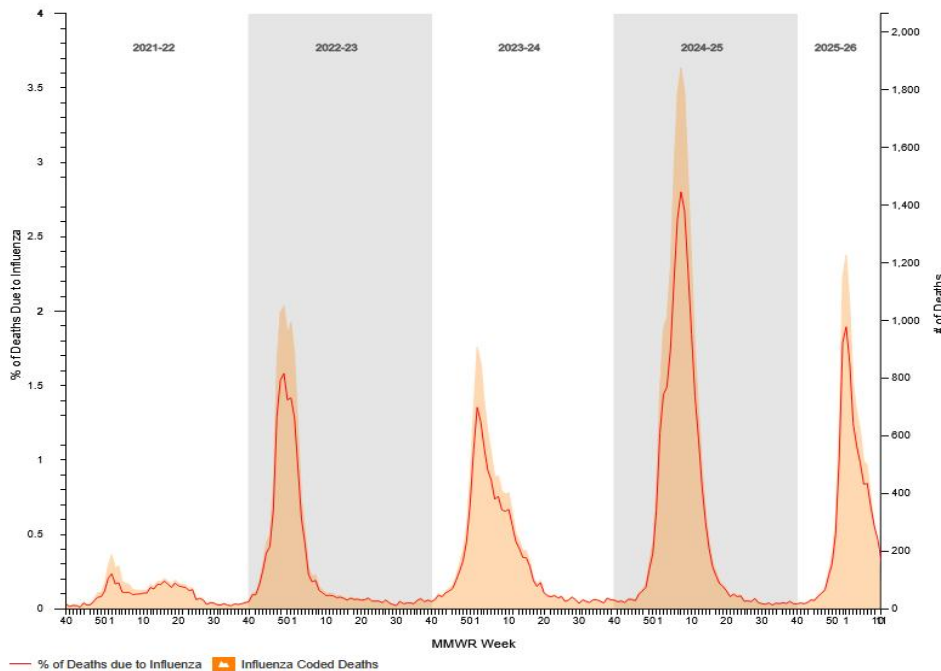


图 14 美国流感死亡监测

(译自: <https://www.cdc.gov/fluview/index.html>)



中国香港（第 12 周，2026 年 3 月 15-21 日）

监测数据显示，本地流感活跃程度与前一周相似，维持在低于基线水平。

本周香港定点普通科诊所呈报的 ILI 平均比例是 5.9%，与上周的 5.9% 相近。

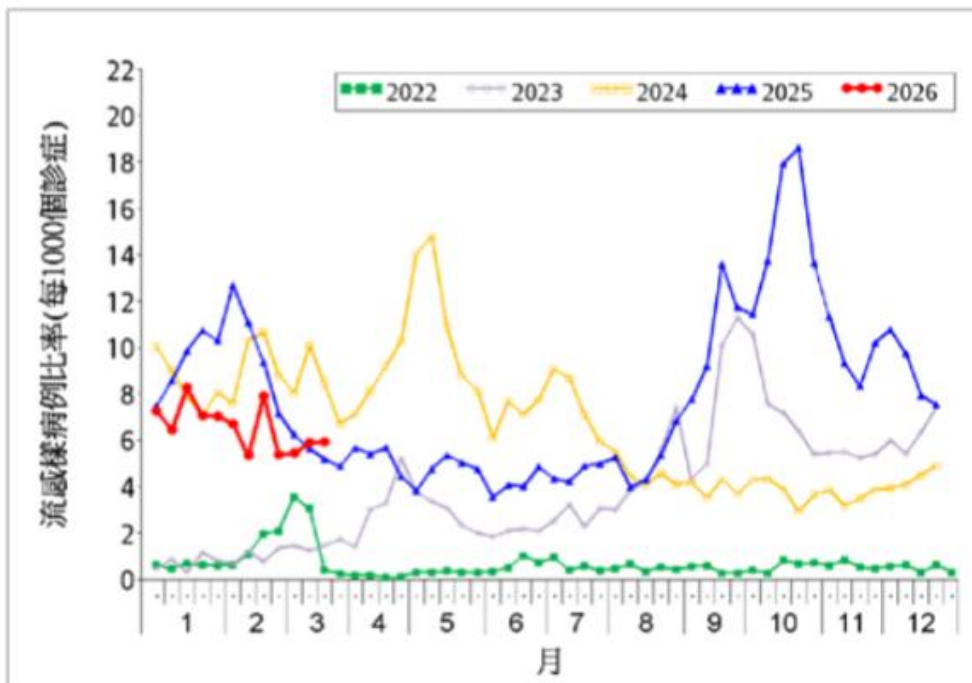


图 15 香港定点普通科诊所 ILI 监测周分布

本周香港定点私家医生所报告的 ILI 平均比例为 39.0%，高于上周的 29.0%。

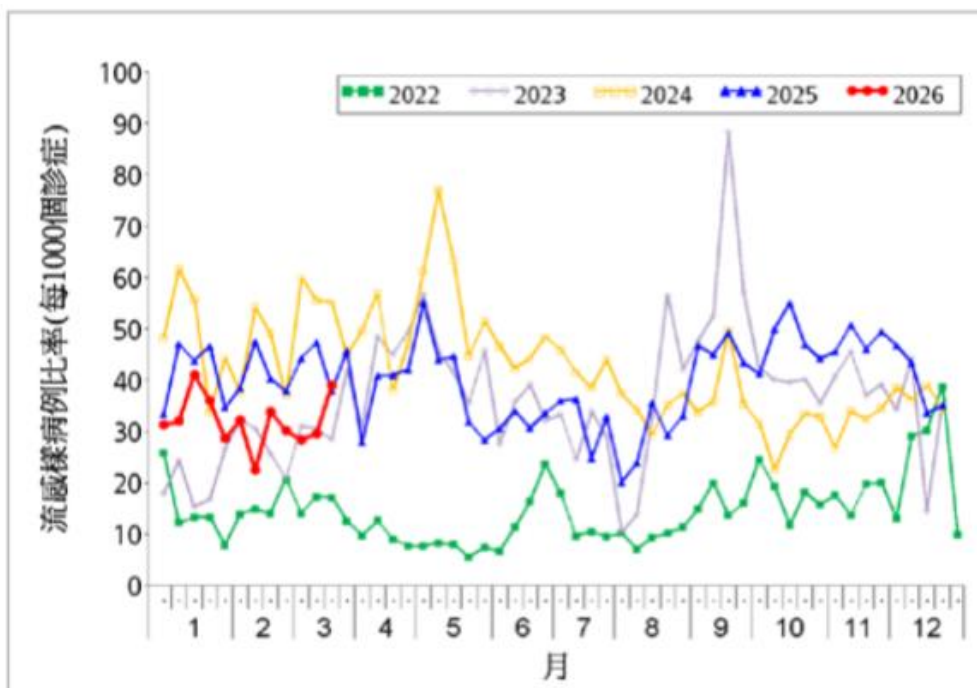


图 16 香港定点私家医生 ILI 监测周分布

本周收集到 9075 份呼吸道样本，检出 215 份 (2.37%) 流感阳性样本，已分型的流感阳性样本包括 22 份 (10%) A(H1N1)pdm09、85 份 (40%) A(H3N2)和 105 份 (50%) B 型流感。本周流感病毒阳性率低于 4.94%的基线水平，低于前一周的 2.48%。

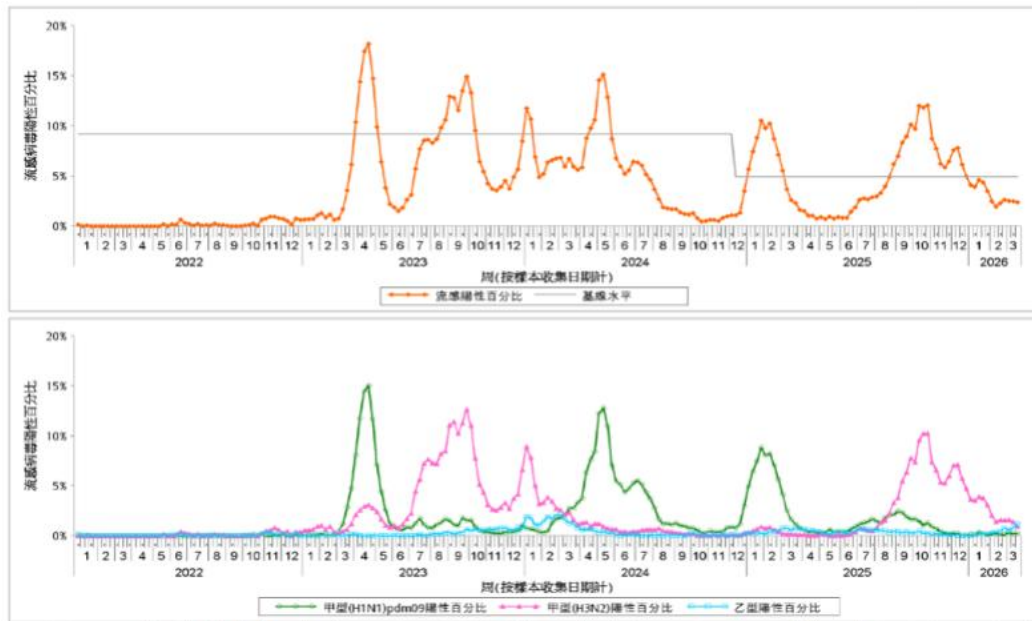


图 17 香港流感病原监测周分布 (上图为整体阳性率; 下图为流感病毒分型阳性率)

本周收到 26 起在学校/院舍发生的流感样疾病暴发的报告 (共影响 122 人)，对比上周无在学校/院舍发生的流感样疾病暴发的报告。第 13 周的前四天收到 16 起在学校/院舍发生的流感样疾病暴发的报告 (共影响 95 人)。

整体公立医院主要诊断为流感的入院率为 0.13 (该年龄组别每 1 万人口计)，对比前一周的 0.16，低于 0.27 的基线水平。0-5 岁、6-11 岁、12-17 岁、18-49 岁、50-64 岁和 65 岁及以上人士在公立医院主要诊断为流感的入院率分别 0.50、0.61、0.35、0.05、0.03 和 0.17 例 (该年龄组别每 1 万人口计)，对比前一周的 0.68、0.58、0.30、0.08、0.03 和 0.27 例。

(摘自: <https://www.chp.gov.hk/tc/resources/29/100148.html>)



中国台湾（第 11 周，2026 年 3 月 15-21 日）

类流感疫情趋势近期上升，需持续留意疫情变化及重症病例发生风险；社区流感病毒以 B 型为多，其次为 A(H3N2)。

近四周实验室监测显示，社区呼吸道病原体以流感病毒居多。流感病毒以 B 型为多，其次为 A(H3N2)。本流感季（自 2025 年 10 月 1 日起）累计 591 例流感并发重症病例，其中 118 例死亡。

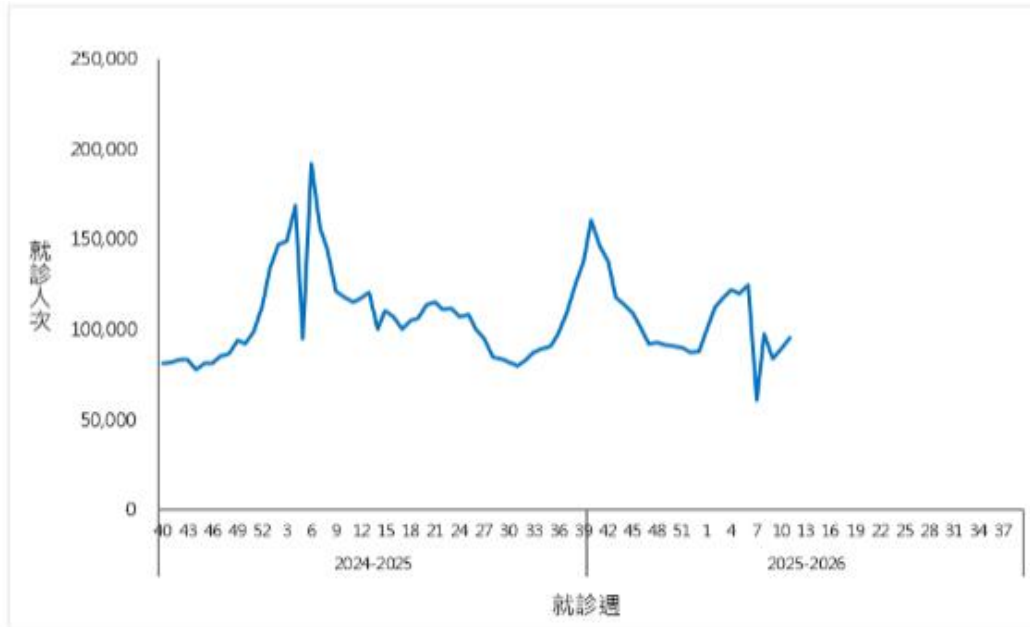


图 18 台湾省门诊及急诊流感样病例就诊人次



中国疾病预防控制中心病毒病预防控制所编制

地 址：北京市昌平区昌百路 155 号病毒病所

邮 编：102206

电 话：010 - 58900863

传 真：010 - 58900863

电子邮箱：fluchina@ivdc.chinacdc.cn

编 辑：中国疾病预防控制中心病毒病预防控制所国家流感中心

编发日期：2026 年 4 月 1 日

下 载：中国国家流感中心网站 (<http://ivdc.chinacdc.cn/cnic>) 或中国流感监测信息系统提供下载。